

金沢大学工学部 正員 北浦 勝

1. まえがき

構造物の復元力特性については多くの実験がなされ、破壊に至るまでの全容が明らかにされつつある。一方、復元力特性とならんで構造物の耐力に大きな影響を有する減衰力特性については未だ解明されていない点が多い。構造物基礎-地盤系の減衰力特性についても、実験方法に一段と工夫をこらす必要があることなどから不明な点が少なくないが、最近の研究によれば系の減衰力は系の応答速度が小さい範囲では速度に比例するが、大きくなるにつれて速度には比例しないといふことが明らかにされている。¹⁾ このように減衰力が系の応答速度と非線形関係にあるといふ現象は構造物基礎-地盤系のみならずほとんどのすべての振動系にあてはまるのではないかと推測される。減衰力特性が非線形であるならば、当然のことながら、応答特性も線形の場合とは異なるであろう。本研究はこのような非線形減衰力系の地震応答が、線形減衰力系のそれと比較して如何に増大するかを明らかにしたものである。

2. 調和波入力に対する応答

減衰力と応答速度の関係を表わす数式モデルとして、ここでは図-1に示すような Bi-linear 弾性モデルを採用する。構造物基礎-地盤系ではこのモデルが妥当であるとされている。このような減衰特性を有する 1 自由度系に調和波外力 $P \cos \omega t$ が作用した場合の運動方程式は、
 $m\ddot{x} + c \cdot D(\dot{x}) + \tau_0 x = P \cos \omega t \quad \dots \dots \dots (1)$

のように表わされる。ここで、
 m : 構造物の質量、 x : 応答変位、 c : 減衰係数、 $D(\dot{x})$: 図-1 で表わされる基準化された減衰力曲線、 τ_0 : ばね定数(ここでは復元力は応答変位に関して線形としている)

P : 外力の振幅、 ω : 外力の振動数、 t : 時間、「」: 時間に關する微分、を表わす。ここで次の無次元量を導入する。

$$\omega_0^2 = \tau_0/m, \quad \bar{\omega} = \omega_0 t, \quad x_s = P/\tau_0, \quad \eta = \omega/\omega_0$$

その結果式(1)は次のような無次元式となる。

$$\ddot{x} + 2\eta D(\dot{x}) + x = x_s \cos \eta \bar{\omega} \quad \dots \dots \dots (2)$$

ここで $\tau_0 = c/(2m\omega_0)$ で減衰定数を表わす。

式(2)に差数微分法を適用して、外力の振動数 η と応答 M (= 応答変位振幅/ x_d (図-1にお

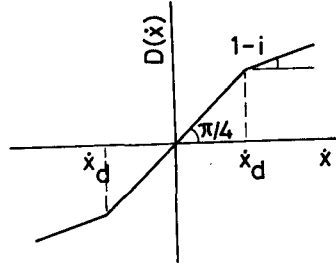


図-1 減衰力曲線

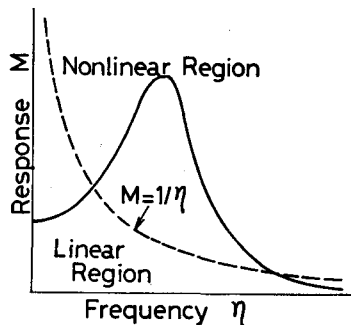


図-2 線形・非線形領域

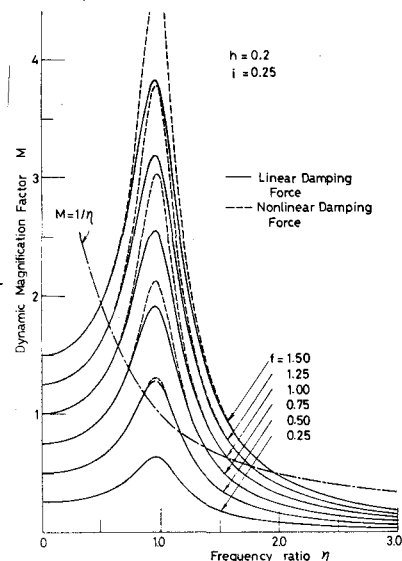


図-3 共振曲線

ける折れ曲がり点の速度))と
の関係を求めたものが図-3である。なお図-3にあるよ
うに $M = 1/\sqrt{i}$ より下の領域
では減衰力は線形範囲にあり、
上では非線形領域に入っている。
図-3の実線は、図-1の
第2分枝の傾きが第1分枝の
それに等しい場合、すなわち線形
減衰に対するものである。外
カレベル $f (= x_s/x_d)$ の増
加とともに応答レベルが増し
ていてこと、その結果非線形
系では非線形領域での応答が増大し、共振時の振幅が線形系のそ
れより大きくなることがわかる。

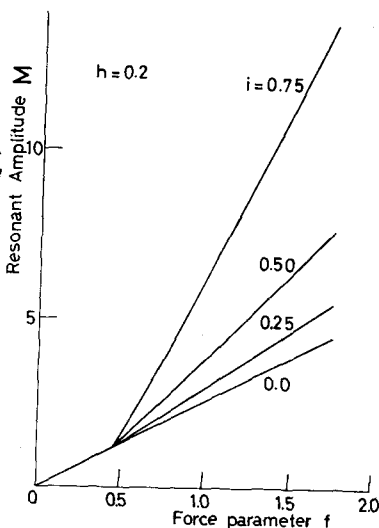


図-4 外カレベル f と応答 M との
関係

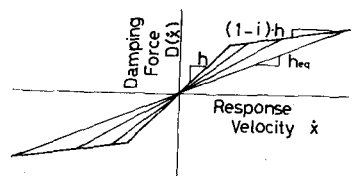


図-5 等価減衰率数 η_{eq} 評価法

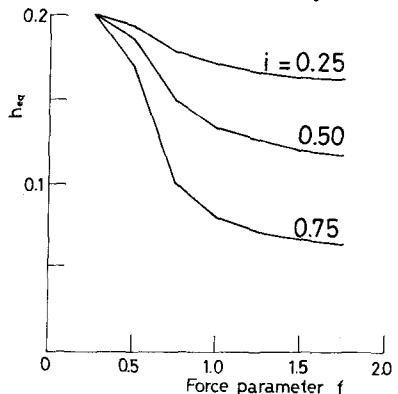


図-6 外カレベル f と等価減衰率数
 η_{eq} との関係

図-4は bi-linear 減衰力曲線における第2分枝の傾きの第1分枝のそれに対する低下の割合 i をパラメータとし、外カレベル f と共振振幅 M との関係を図示したものである。この図からも外カレベル f が大きいほど減衰力の非線形性が共振振幅に及ぼす影響の大きいことが明らかである。

次にこの非線形減衰を等価な線形減衰率数 η_{eq} として評価することを考える。そこで図-4から求まる共振時の変位振幅から応答速度を求め、この値を図-5にあるように線形減衰の場合の共振振幅と一致させ、それに応する等価な減衰率数 η_{eq} を求める。図-6が f と η_{eq} の関係を示している。この図から i が大きいほど外カレベル f の増加に対する η_{eq} の低下の割合は大きいこと、 f が大きくなるにつれて η_{eq} は一定値 $(1-i) \cdot h$ すなわち図-5の第2分枝の傾きに近づくことがわかる。

3. 実地震波に対する応答

Taft 入力に対する非線形減衰率の応答を求めたものが図-7である。同図(a)は $i=1$ に対する減衰力曲線、(b)は $i=0$ に対する曲線、(c)は入力の加速度、(d)は $i=1$ に対する応答速度の時間曲線、(e)は $i=0$ に対する時間曲線をそれぞれ表わしている。この場合にも調和波入力の場合と同様に i の増加とともに応答の最大値は増加する傾向にある。しかしながら振動数特性は(d), (e)両図においてほとんど違いではなく、減衰の非線形性は振幅特性にのみよく効いていることがわかる。本研究実施に当って御協力いただいた
当时学生河島敏郎氏（現京都市）に感謝します。参考文献1) 第5回日本地盤工学シンポジウム。

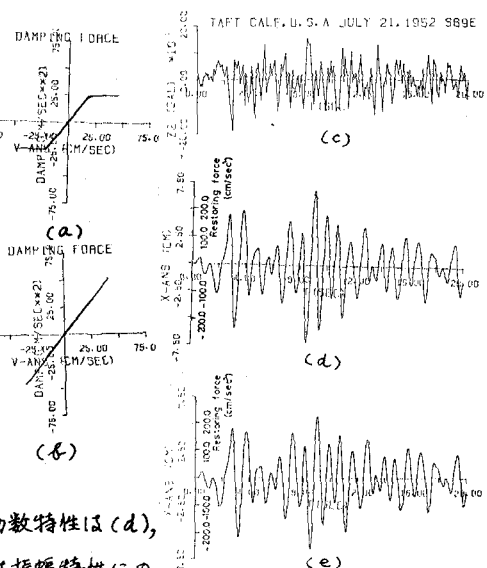


図-7 Taftに対する応答